

# AzuRe171



**Descrição:** Azulejo do século XVIII (1700-1750);

Origem: Coimbra.

**Amostras:** Fragmentos em depósito no *Museu Nacional do Azulejo*, Lisboa.



LABORATÓRIO NACIONAL  
DE ENGENHARIA CIVIL



CENTRO  
**HERCULES**  
HERANÇA, CULTURAL, ESTUDOS E SALVAGUARDA

PATRIMONIO  
CULTURAL

Direção-Geral do Património Cultural

FCT  
Fundação para a Ciência e a Tecnologia  
www.fct.mctes.pt

**FCT**AzuRe

# Índice

AzuRe171

- **Caracterização Morfológica**
  - ✓ Imagens macroscópicas
  - ✓ Imagens de microscopia electrónica (SEM)
- **Caracterização Física**
  - ✓ Propriedades hídricas / Porosidade
  - ✓ Porosimetria de mercúrio
- **Caracterização Química/Mineralógica**
  - ✓ Análise por SEM/EDS



LABORATÓRIO NACIONAL  
DE ENGENHARIA CIVIL



CENTRO  
**HERCULES**  
PATRIMONIO  
CULTURAL

Direção-Geral do Património Cultural

FCT  
Fundação para a Ciéncia e a Tecnologia

**FCT**AzuRe



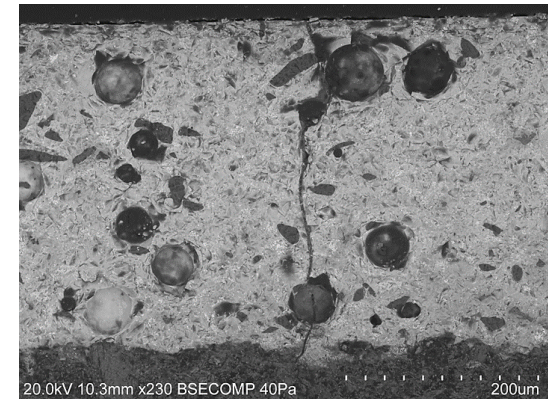
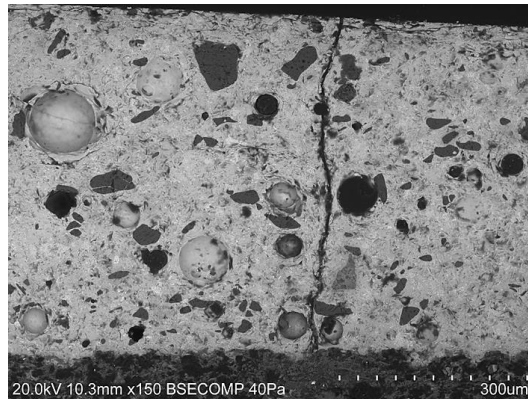
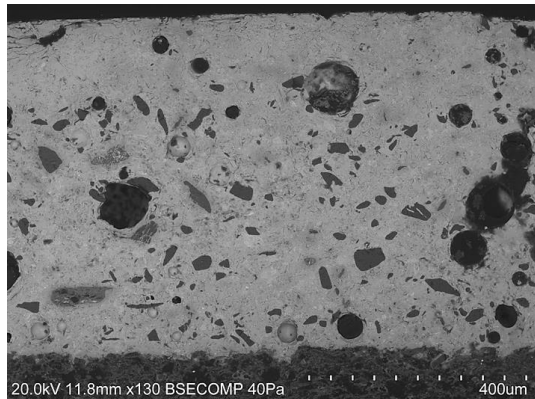
Azulejo com craquelé evidente mas pouco aberto. Apresenta um grande número de poros e uma fenda de fabrico no interior da área vidrada.



- Espessura do Azulejo = 12 mm



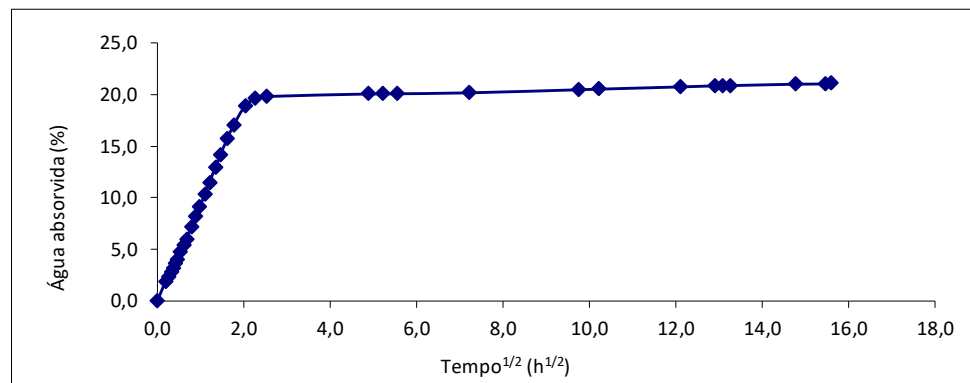
Chacota bege compacta com alguns poros alongados e circulares; efeito de marmoreado claro; vazios alongados e pequenas inclusões; craquelé com ligação ao vazio alongado mais fechado.



- Observa-se craquelé.
- Espessura do Vidrado = 620  $\mu\text{m}$

Equipamento: Microscópio eletrónico de varrimento HITACHI 3700N acoplado a um espectrómetro de energia dispersiva de raios-X Bruker Xflash 5010.

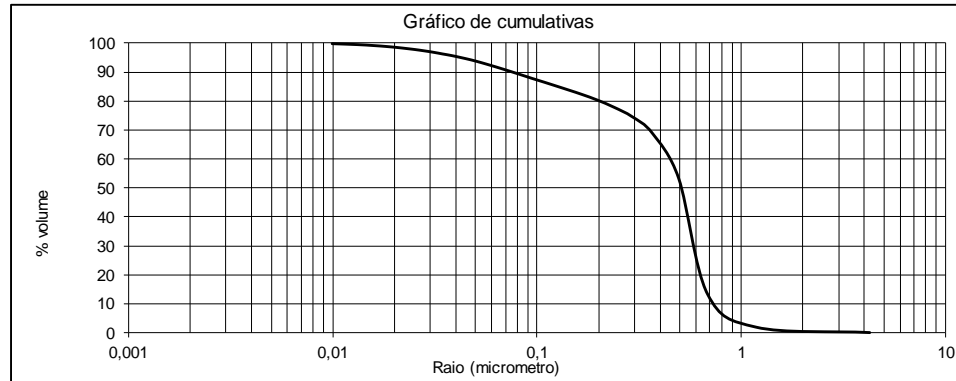
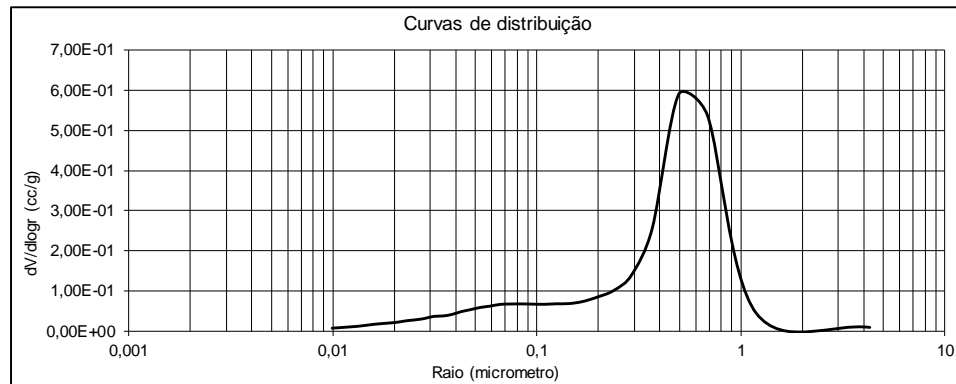
## Curva de Absorção de Água (Chacota)



|   |      |
|---|------|
| Massa volúmica real<br>(kg/m <sup>3</sup> )                           | 2990 |
| Massa volúmica aparente<br>(kg/m <sup>3</sup> )                       | 1577 |
| Porosidade aberta<br>(vol %)  | 40,8 |
| Coeficiente de capilaridade<br>(kg/m <sup>2</sup> /h <sup>1/2</sup> ) | 1,8  |
| Teor máximo de água<br>(%)  | 24,5 |

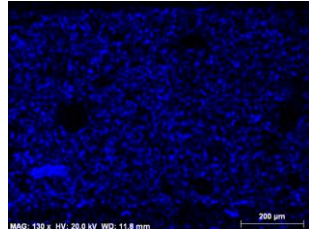
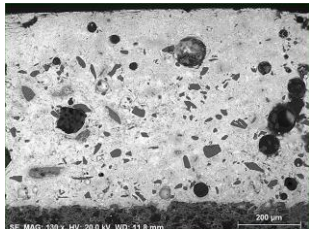
Procedimento: baseado na norma NP EN-13755.

## Curvas de Porosimetria (Chacota)

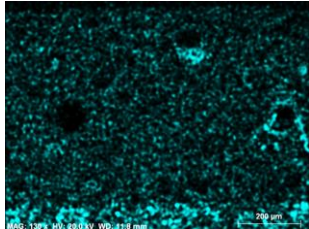


Procedimento: baseado na norma ASTM D4404-84.

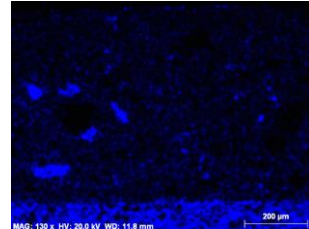
Equipamento: Porosímetro Quantachrome Autoscan



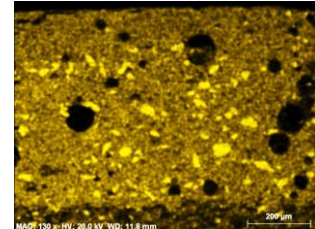
Na



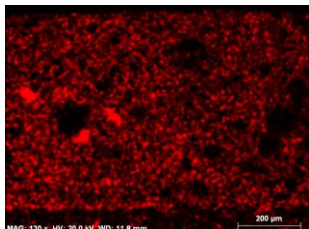
Mg



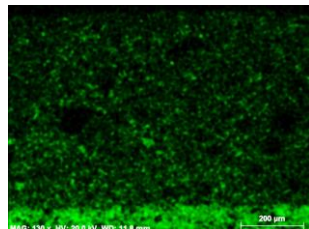
Al



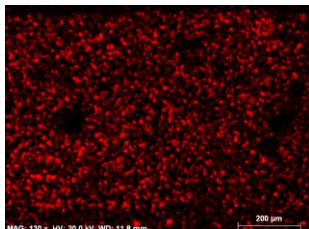
Si



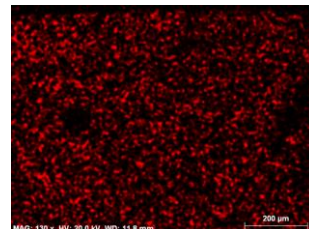
K



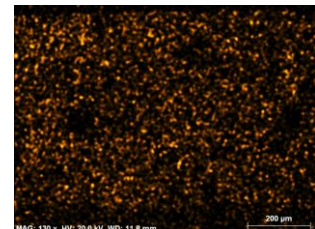
Ca



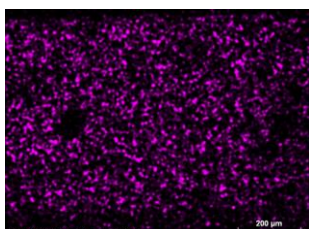
Ti



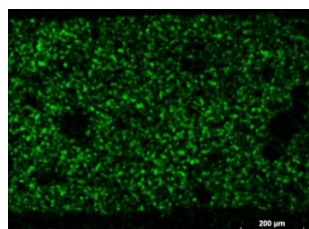
Fe



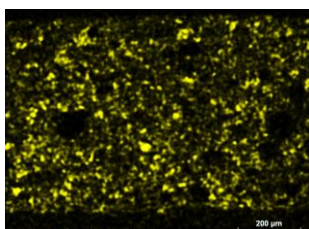
Co



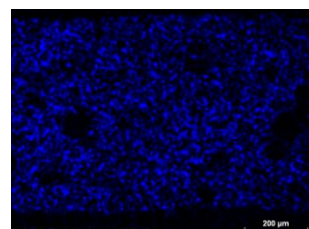
Ni



As

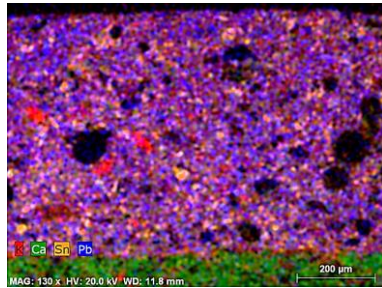
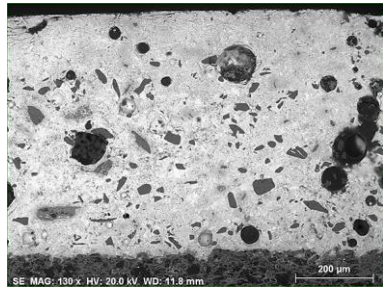


Sn

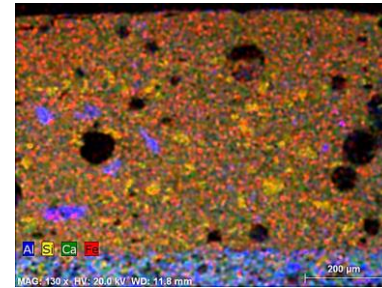


Pb

Equipamento: Microscópio eletrônico de varrimento HITACHI 3700N acoplado a um espectrómetro de energia dispersiva de raios-X Bruker Xflash 5010.



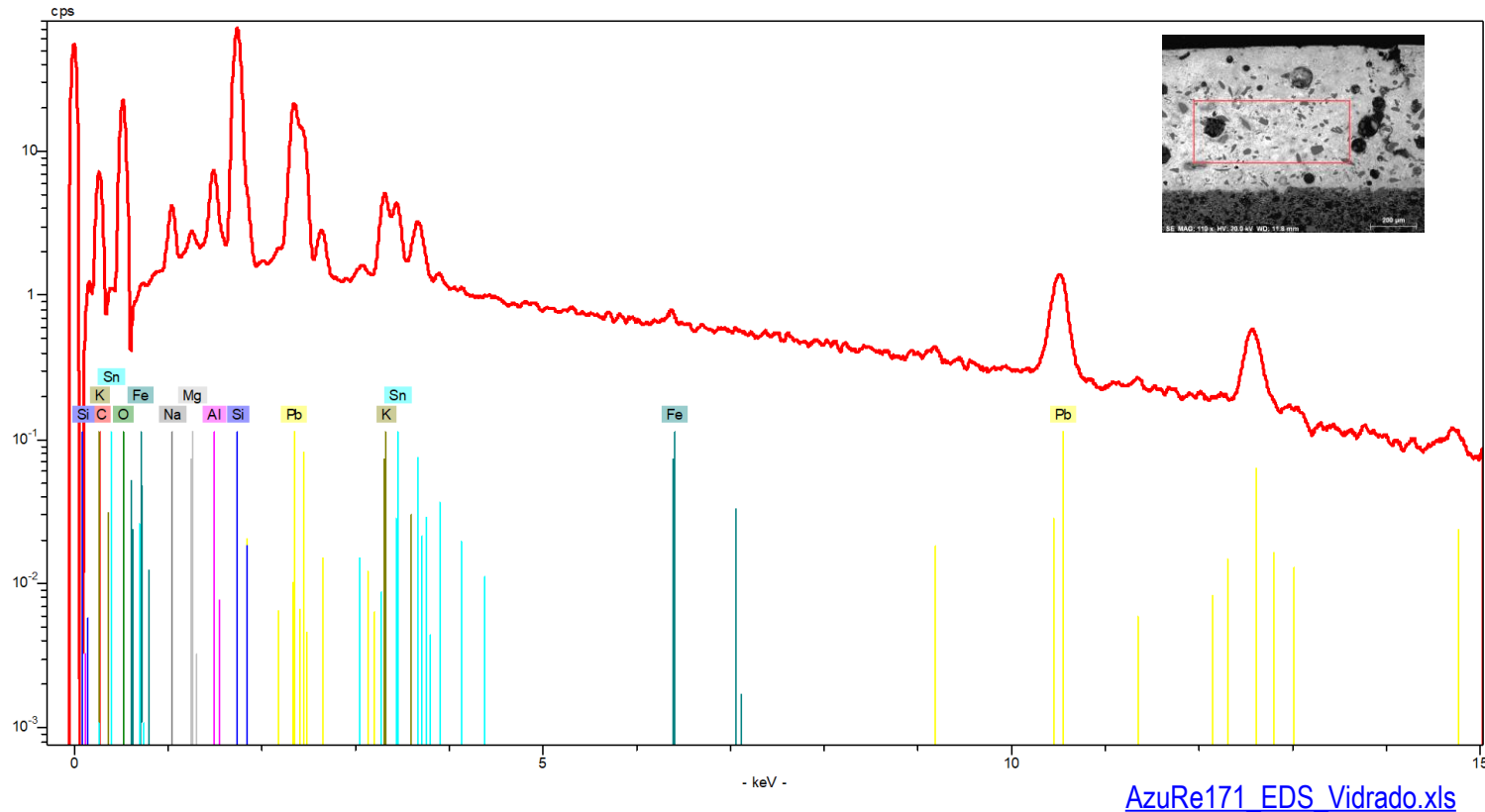
Combinação  
K\_Ca\_Sn\_Pb



Combinação  
Al\_Si\_Ca\_Fe

Equipamento: Microscópio eletrónico de varrimento HITACHI 3700N acoplado a um espectrómetro de energia dispersiva de raios-X Bruker Xflash 5010.

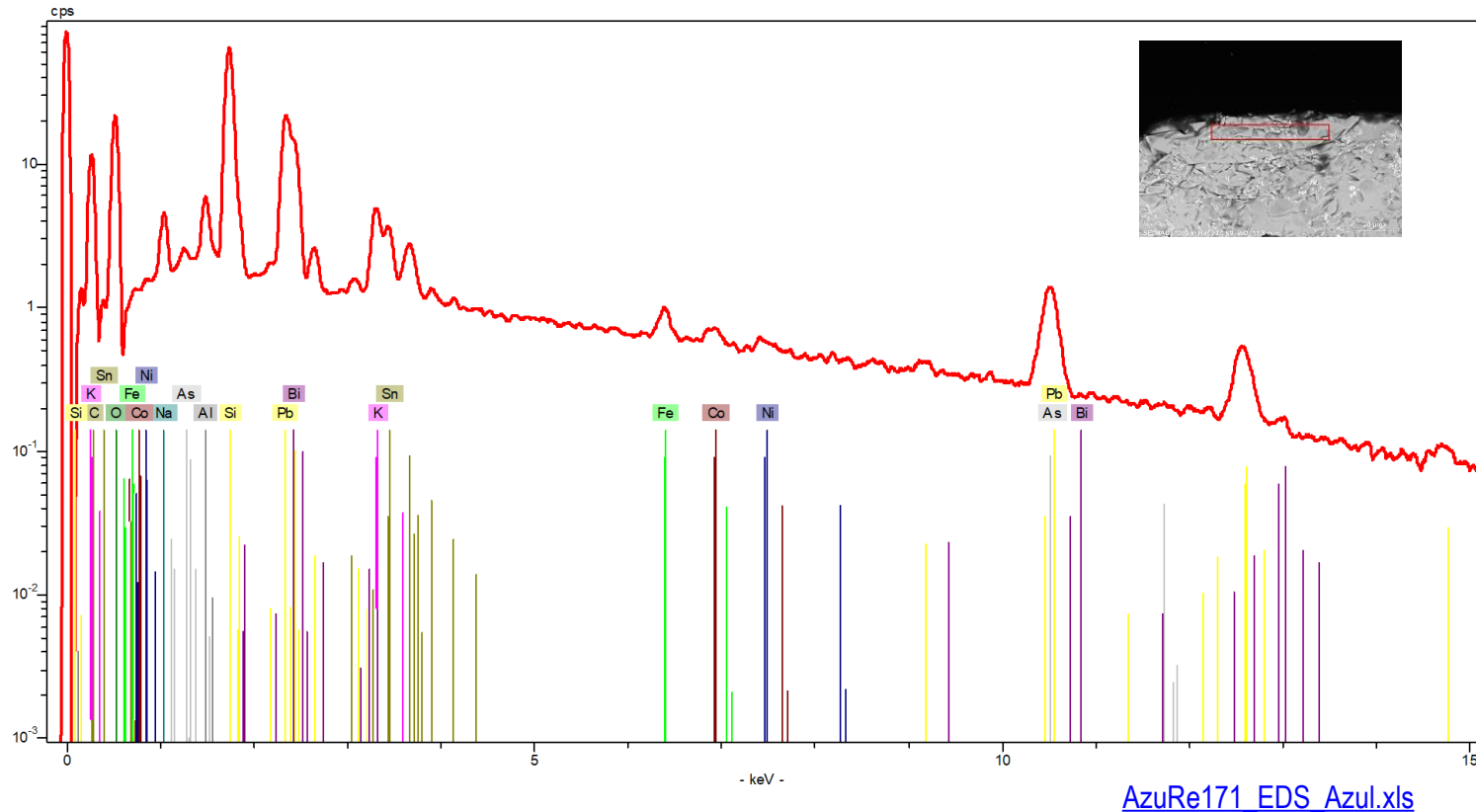
## VIDRADO BRANCO



Equipamento: Microscópio eletrónico de varrimento HITACHI 3700N acoplado a um espectrómetro de energia dispersiva de raios-X Bruker Xflash 5010.



## PIGMENTO AZUL

[AzuRe171 EDS Azul.xls](#)

Equipamento: Microscópio eletrónico de varrimento HITACHI 3700N acoplado a um espectrómetro de energia dispersiva de raios-X Bruker Xflash 5010.

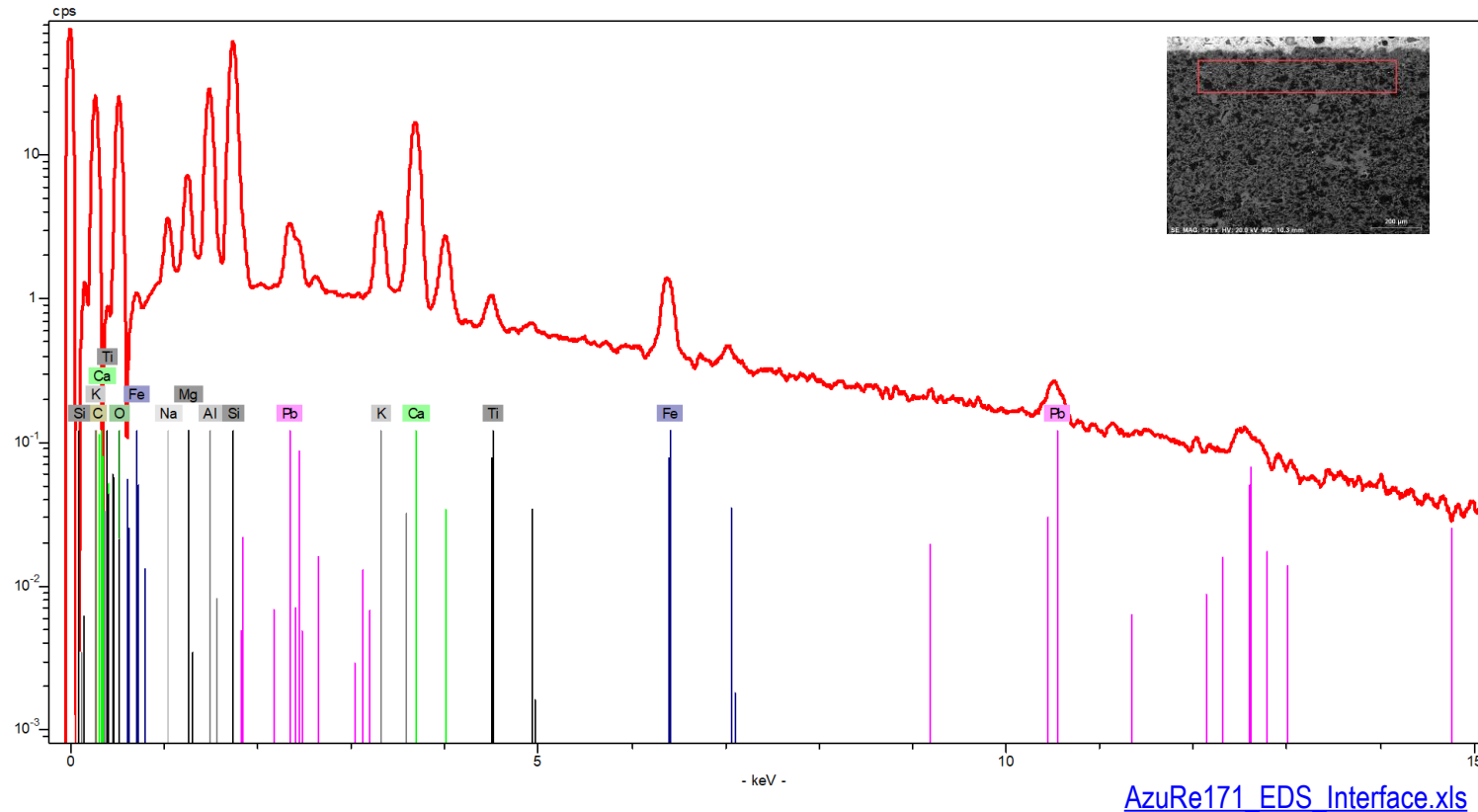


LABORATÓRIO NACIONAL  
DE ENGENHARIA CIVIL



voltar ao índice

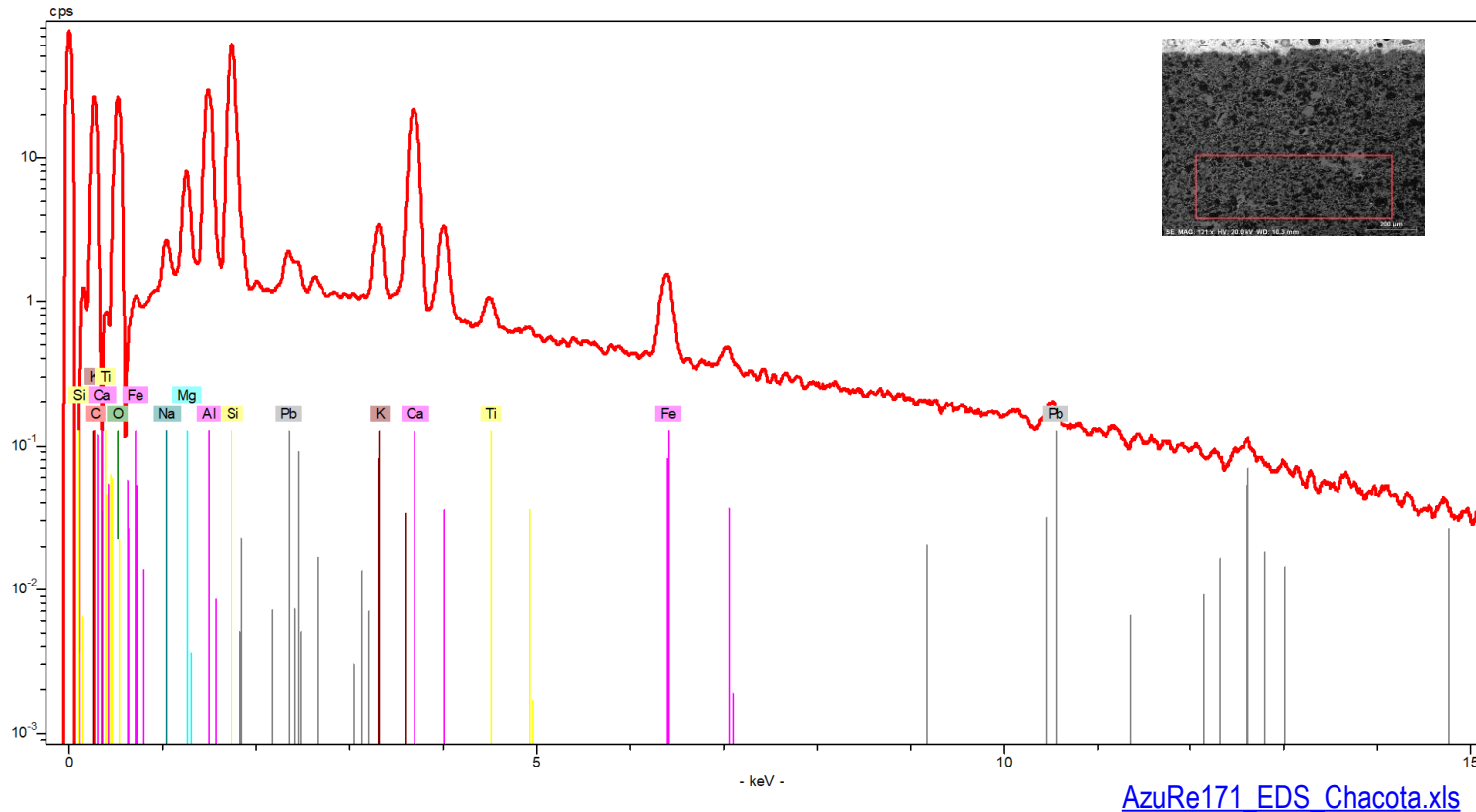
## INTERFACE



Equipamento: Microscópio eletrónico de varrimento HITACHI 3700N acoplado a um espectrómetro de energia dispersiva de raios-X Bruker Xflash 5010.



## CHACOTA



Equipamento: Microscópio eletrónico de varrimento HITACHI 3700N acoplado a um espectrómetro de energia dispersiva de raios-X Bruker Xflash 5010.

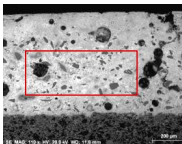
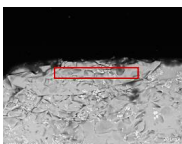
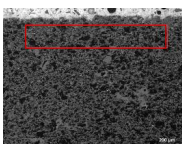
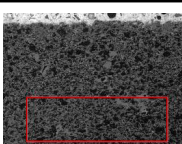


LABORATÓRIO NACIONAL  
DE ENGENHARIA CIVIL



voltar ao índice

## Composição química (% m/m)\*

| Área Analisada   | Na   | Mg   | Al    | Si    | K    | Ca    | Ti   | Fe   | Co   | Ni   | As   | Sn   | Pb    | Bi   |
|--|------|------|-------|-------|------|-------|------|------|------|------|------|------|-------|------|
| <br>vidrado branco              | 2,24 | 0,50 | 2,74  | 28,94 | 3,94 | --    | --   | 0,26 | --   | --   | --   | 8,67 | 52,71 | --   |
| <br>pigmento azul               | 2,46 | --   | 2,07  | 27,73 | 3,84 | --    | --   | 1,08 | 0,73 | 0,62 | 6,27 | 6,80 | 44,05 | 4,35 |
| <br>chacota (próximo interface) | 1,91 | 3,68 | 17,11 | 34,56 | 3,64 | 23,85 | 0,72 | 4,11 | --   | --   | --   | --   | 10,42 | --   |
| <br>chacota                    | 0,92 | 4,12 | 17,25 | 33,95 | 2,78 | 30,20 | 0,78 | 4,75 | --   | --   | --   | --   | 5,24  | --   |

\* - Os valores apresentados na tabela correspondem às percentagens mássicas dos elementos detetados na amostra, não considerando o teor de oxigénio e normalizados a 100% ([ver aviso](#)).

Equipamento: Microscópio eletrónico de varrimento HITACHI 3700N acoplado a um espectrómetro de energia dispersiva de raios-X Bruker Xflash 5010.